

Л.М.Давидович, И.Ф.Кузьмицкий, канд. техн.  
наук (БТИ), В.П.Савчук, канд. физ.-мат. наук (БГУ)

## ИССЛЕДОВАНИЕ ИЗМЕНЕНИЯ ТОЛЩИНЫ ЛИСТА ПОСЛЕ ВЫХОДА ИЗ ЗАЗОРА КАЛАНДРА

В работах [1, 2] приводились исследования, в результате которых получено уравнение, позволяющее определить координату точки отрыва каландруемого листа, а следовательно, и толщину листа на выходе из зазора каландра. Для разработки системы автоматического регулирования толщины листа представляло интерес поведение материала после отрыва от валков.

Движение материала считаем стационарным относительно системы координат, ось  $ox$  которой совпадает с осью симметрии листа, а ось  $oy$  проходит через точку отрыва листа от валка (рис. 1). Так как лист тонок и ограничен свободными поверхностями  $y = \pm f(x)$ , давление  $p$  можно считать постоянным и равным 0.

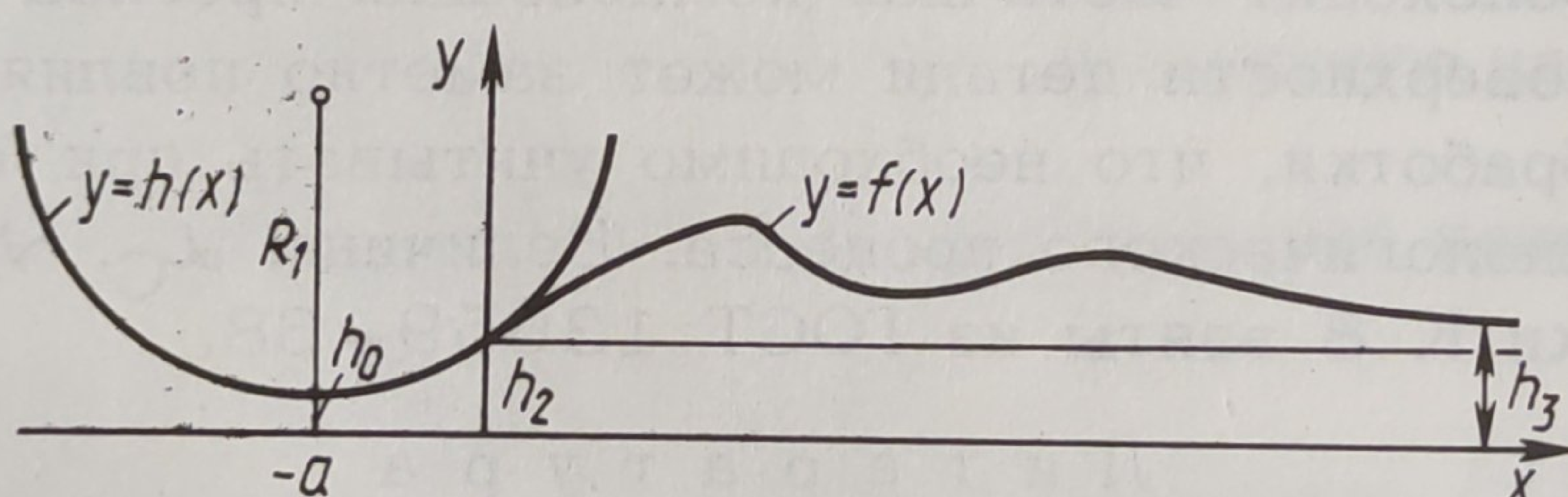


Рис. 1. Изменение толщины листа после выхода из зазора каландра.

Кроме того, составляющая  $u$  скорости точек листа вдоль оси будет мало отличаться от  $U$ , т. е. от скорости, с которой лист выходит из зазора между валками. Форма поверхности  $f(x)$  будет определяться прежде всего величиной поперечной составляющей скорости точек листа  $v$ . На основании сказанного для описания движения листа воспользуемся следующими уравнениями:

$$U \frac{\partial v}{\partial x} = \frac{\partial p_{xy}}{\partial x} + \frac{\partial p_{yy}}{\partial y}, \quad \frac{\partial u}{\partial x} + \frac{\partial v}{\partial y} = 0,$$

$$p_{xy} + t_0 U \frac{\partial p_{xy}}{\partial x} = \mu \left( \frac{\partial u}{\partial y} + \frac{\partial v}{\partial x} \right), \quad (1)$$

$$p_{yy} + t_0 U \frac{\partial p_{yy}}{\partial y} = 2\mu \frac{\partial v}{\partial y}.$$

уравнения (1) получены из соответствующих точных уравнений [1] после следующих упрощений:

1) в первом уравнении отброшен в силу его малости член  $v \frac{\partial v}{\partial y}$ , а член  $u \frac{\partial v}{\partial x}$  заменен приближенным значением  $U \frac{\partial v}{\partial x}$ ;

2) в последних двух уравнениях отброшены члены  $t_0 v \frac{\partial p_{xy}}{\partial y}$ ,  $t_0 v \frac{\partial p_{yy}}{\partial y}$ , а оставшиеся нелинейные члены  $t_0 u \frac{\partial p_{xy}}{\partial x}$ ,  $t_0 u \frac{\partial p_{yy}}{\partial x}$  заменены их приближенными значениями  $t_0 U \frac{\partial p_{xy}}{\partial x}$ ,  $t_0 U \frac{\partial p_{yy}}{\partial x}$  соответственно.

Границные условия для (1) будут следующими. На оси симметрии листа:  $v = 0$  при  $y = 0$  (2).

Направление нормали к поверхности листа будет мало отличаться от направления оси  $oy$ . Давление внутри и вне листа одинаково и равно нулю.

Поэтому  $p_{yy} = 0$  при  $y = f(x)$ . (3)

Нормальная составляющая скорости среды на свободной поверхности должна равняться нулю, т. е., используя результат [1],

$v - u \frac{df}{dx} = 0$  при  $y = f(x)$ ,  
или приближенно

$$v = U \frac{df}{dx} \text{ при } y = f(x). \quad (4)$$

Из этого условия после нахождения  $v(x, y)$  определяется  $f(x)$ .

На выходе из зазора, т. е. при  $x = 0$ ,  $v$  имеет некоторое отличное от нуля значение, которое может быть определено следующим образом. Так как  $v = 0$  при  $y = 0$  и  $v = U \frac{dh}{dx}$  при  $y = h(x)$ , то приближенно можно записать:

$$v = y U \frac{dh}{dx} \cdot \frac{1}{h^2},$$

$$\frac{\partial v}{\partial x} = y U \frac{d^2 h}{dx^2} \cdot \frac{1}{h^2} \text{ при } x = 0. \quad (5)$$

Так как  $h \approx h_0 + \frac{(x+a)^2}{2R_1}$  и  $x+a \approx \sqrt{2R_1(h-h_0)}$ ,

$$\text{то } \frac{dh}{dx} = \frac{x+a}{R_1} = \sqrt{\frac{2(h-h_0)}{R_1}}, \quad a \frac{d^2 h}{dx^2} = \frac{1}{R_1}.$$

Тогда (5) запишется следующим образом:

$$v = \frac{yU}{h^2} \sqrt{\frac{2(h_2 - h_0)}{R_1}},$$

$$\frac{\partial v}{\partial x} = y \frac{U}{R_1 h_2} \quad \text{при } x = 0.$$

Условия (3) и (4) заданы на кривой, уравнение которой зависит от  $x$ . Это обстоятельство значительно затрудняет решение задачи. Поэтому воспользуемся известным приемом, применяемым при приближенном решении задач механики сплошной среды [3], который состоит в "снесении" граничных условий на невозмущенную поверхность, т. е. указанные выше условия можно считать выполненными при  $y = h_2$ . Далее, перейдя в уравнениях и граничных условиях к безразмерным величинам, после соответствующих преобразований получим

$$R \frac{\partial v}{\partial x} + \frac{\partial^2 v}{\partial x^2} (b - 1) - \frac{\partial^2 v}{\partial y^2} = 0. \quad (6)$$

Здесь

$$b = \frac{t_0 U^2 \rho}{\mu}, \quad R = \frac{h^2 U \rho}{\mu}, \quad A = \sqrt{\frac{2(h_2 - h_0)}{R_1}},$$

где  $t_0, \rho, \mu$  – параметры перерабатываемого материала. Тип уравнения (6), а следовательно, и метод решения зависит от знака коэффициента  $b - 1$ . Так, при  $b - 1 > 0$  оно имеет гиперболический тип, а при  $b - 1 = 0$  – параболический. Применяя интегральное преобразование Лапласа [4], получаем уравнение кривой  $y = f(x)$ , которое имеет достаточно сложный вид. Анализ полученного уравнения позволил сделать вывод, что  $f(x)$  состоит из бесконечного множества затухающих гармоник. При достаточно больших значениях  $x$

$$f(x) \approx 1 + \frac{1}{3} \left[ AR + (b - 1) \frac{h_2}{h_1} \right]. \quad (7)$$

Если вернуться в этом равенстве к размерным величинам, то окончательная толщина листа материала будет определяться по формуле

$$h_3 = h_2 + \frac{1}{3} \left[ \frac{h^2 U \rho}{2 \mu} \sqrt{\frac{2(h_2 - h_0)}{R_1}} + \left( \frac{t_0 U^2 \rho}{\mu} - 1 \right) \frac{h_2^2}{R_1} \right]. \quad (8)$$

Из уравнения (8) можно достаточно просто определить расстояние от выхода из каландра, на котором толщина листа отличается от  $h_3$  не более чем на 1 %.

$$L = \frac{4Rh_2}{\pi^2} \ln(100B), \quad (9)$$

$$\text{где } B = \frac{\frac{AR}{2} + (b - 1)\left(\frac{h^2}{R_1} + Aa_1\right)}{1 + \frac{1}{3}\left[AR + (b - 1)\frac{h_2}{R_1}\right]} \cdot \frac{32}{\pi^4}.$$

Из равенства

$$T_1 = \frac{L}{U} \quad (10)$$

можно определить время, по истечении которого толщина листа, вышедшего из зазора, отличается от  $h_3$  меньше чем на 1 %.

Полученные результаты дают возможность правильно определить место установки датчиков контроля толщины, прогнозировать толщину ленты в зависимости от технологических факторов и характеристик сырья при управлении процессом с помощью ЭВМ.

### Л и т е р а т у р а

1. Давидович Л.М., Кузьмицкий И.Ф., Савчук В.П. Исследование процесса каландрования вязкоупругого материала. – В сб.: Химия и химическая технология. Минск, 1982, вып. 18, с. 110–113.
2. Давидович Л.М., Кузьмицкий И.Ф., Савчук В.П. Нестационарное течение вязкоупругого материала в зазоре каландря. – В сб.: Химия и химическая технология. Минск, 1982, вып. 18, с. 129.
3. Шлихтинг Г. Теория пограничного слоя. – М., 1969. – 742 с.
4. Дёч Г. Руководство к практическому применению преобразования Лапласа и Z-преобразования. – М., 1971. – 288 с.